

全国高等农业院校教材

家畜病理学

下册

(第二版)

内蒙古农牧学院
华南农业大学

主编

农业出版社

全国高等农业院校教材

家畜病理学

下册

(第二版)

内蒙古农牧学院
华南农业大学 主编

兽医专业用

全国高等农业院校教材
家畜病理学
下册 (第二版)
内蒙古农牧学院 主编
华南农业大学

* * *

责任编辑 顾之春

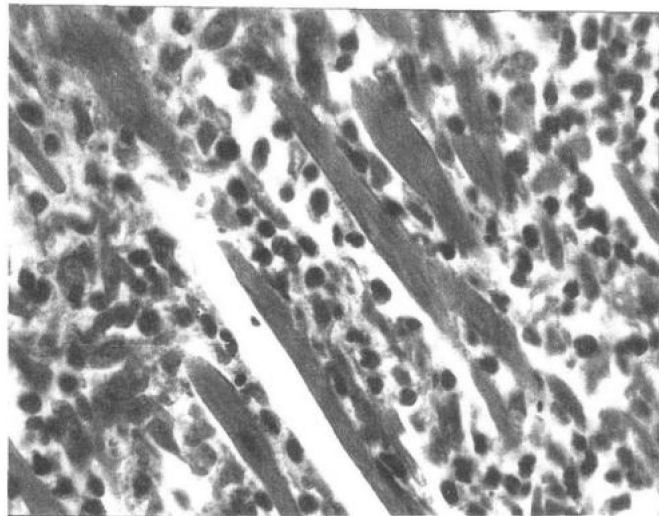
农业出版社出版 (北京朝阳区寒营路)
新华书店北京发行所发行 农业出版社印刷厂印刷

787×1092 mm 16 开本 25.25 印张 44 插页 539 千字

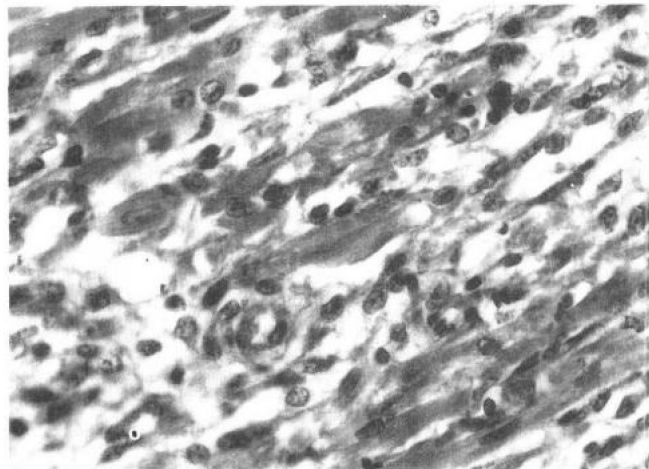
1981年12月第1版 1990年5月第2版 北京第1次印刷

印数 1—4,000册 定价 9.40 元

ISBN 7-109-00931-9/S·707

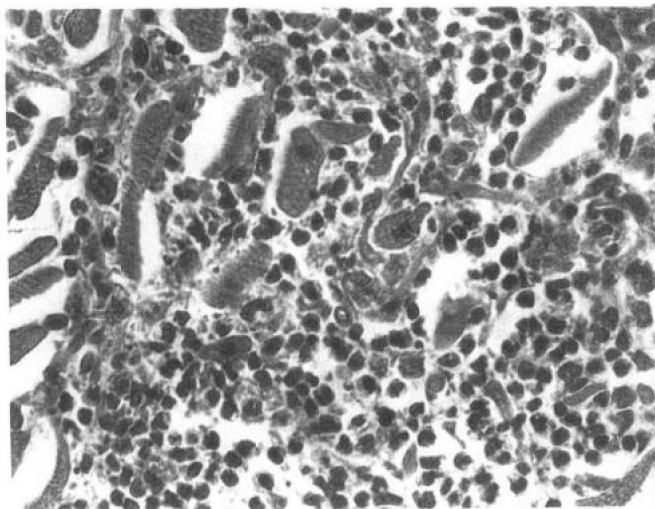


附图14—1 实质性心肌炎(马)
心肌纤维变性，肌纤维间有较多的淋巴细胞浸润 (H. E. × 360)

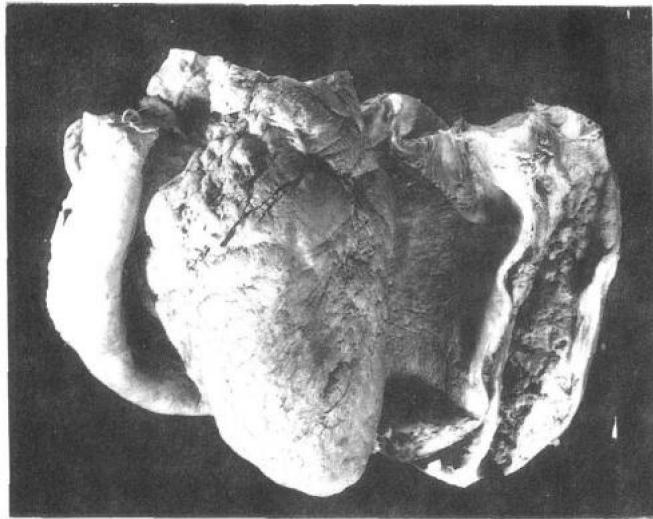


附图14—2 间质性心肌炎(羊白
肌病)

心肌纤维变性、萎缩，肌纤维间有较
多的淋巴细胞浸润和成纤维细胞增生
(H. E. × 200)

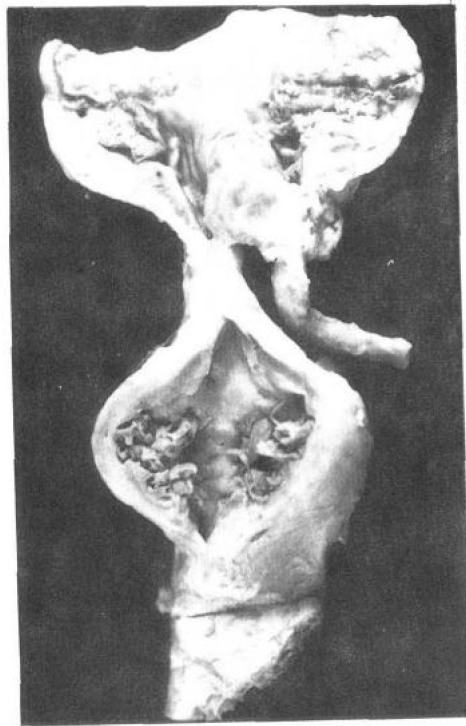


附图14—3 化脓性心肌炎(马)
心肌纤维变性、坏死，肌纤维间有多
量中性粒细胞浸润 (H. E. × 200)

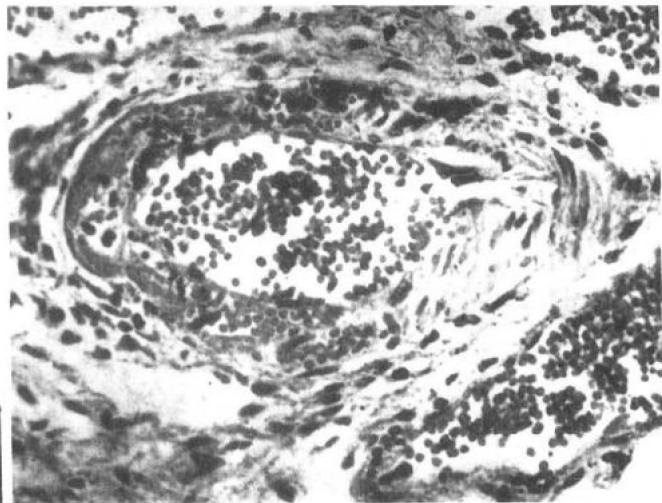


附图14—4 创伤性心包炎（牛）

心包和心外膜附着一层很厚的纤维素，表面凹凸不平，在靠近心尖部的心壁上有一创口

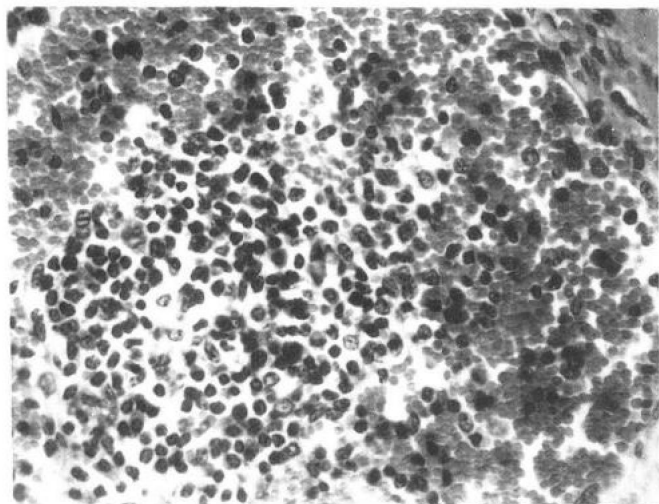


附图14—5 急性动脉炎（猪水胂病）

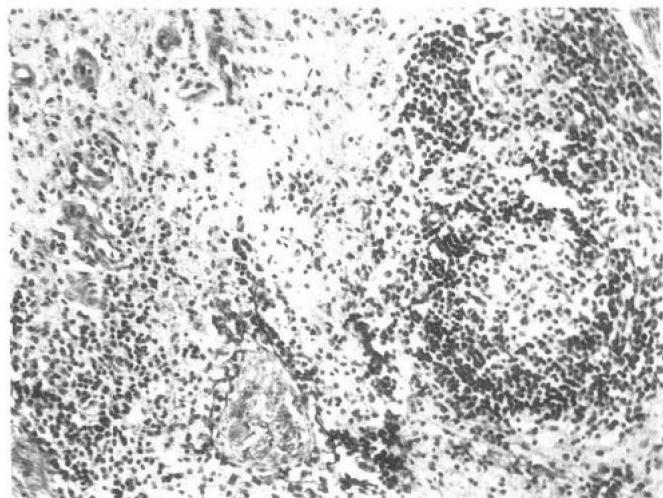


附图14—6 慢性动脉炎（马回盲结肠动脉寄生虫性动脉瘤）

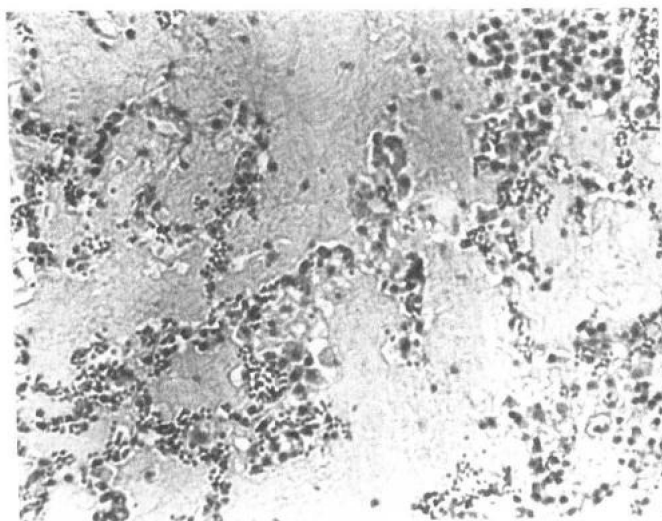
图中呈球形扩张部位是已切开的动脉瘤，其管壁肥厚，内膜粗糙，内附白色血栓



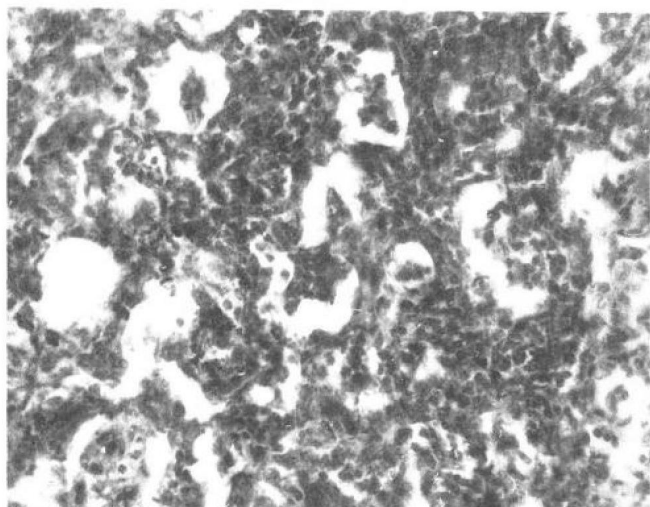
附图15—1 出血性淋巴结炎(马)
淋巴囊内结集大量红细胞(H. E. × 600)



附图15—2 纤维性淋巴结炎(马)
淋巴小结萎缩，髓索结缔组织显著增
生，淋巴细胞大为减少，小梁变粗
(H. E. × 200)

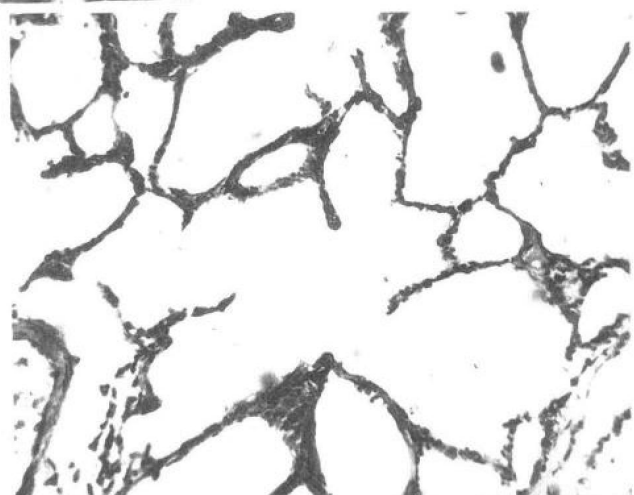


附图16—1 浆液性肺炎
肺泡壁充血，肺泡腔充斥大量浆液与
少量白细胞 (H. E. × 96)

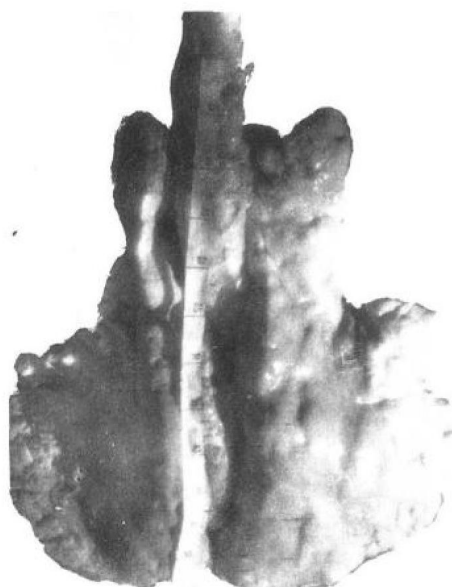


附图16—2 间质性肺炎

绵羊慢性进行性肺炎，肺泡隔因细胞增生而显著增厚 (H. E. × 200)

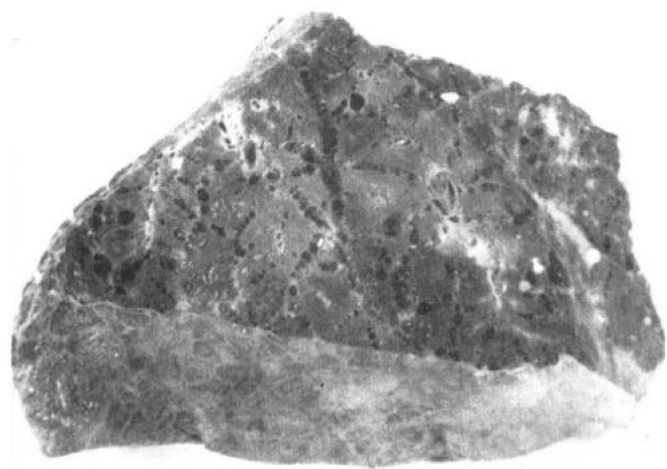


附图16—3 急性肺泡性肺气肿
肺泡扩张，肺泡隔变薄，贫血 (H. E. × 80)

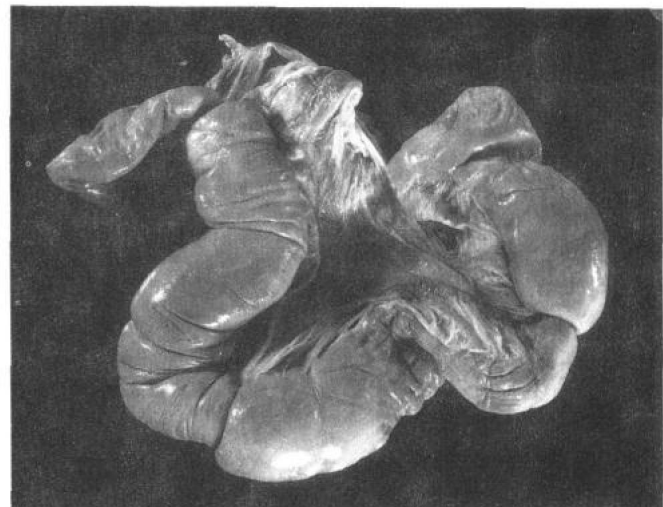


附图16—4 慢性弥漫性肺泡性肺气肿

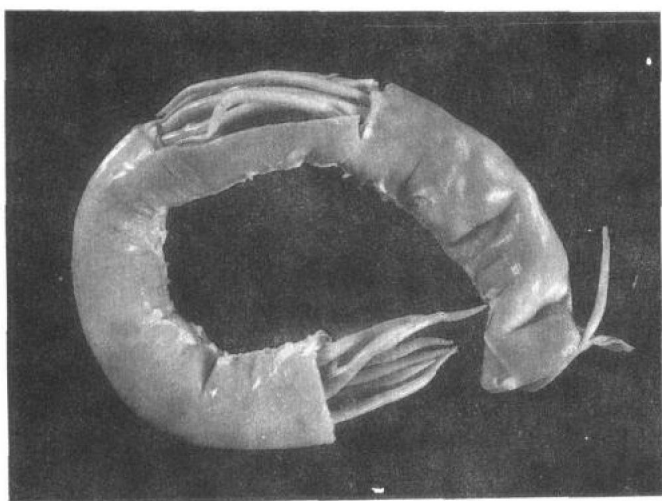
马气喘病右肺全肺气肿，左肺隔叶呈明显的周边性气肿 (气肿区分布在背缘及前下缘沿线)



附图16—5 乳牛黑斑病甘薯中毒时
出现的间质性肺气肿



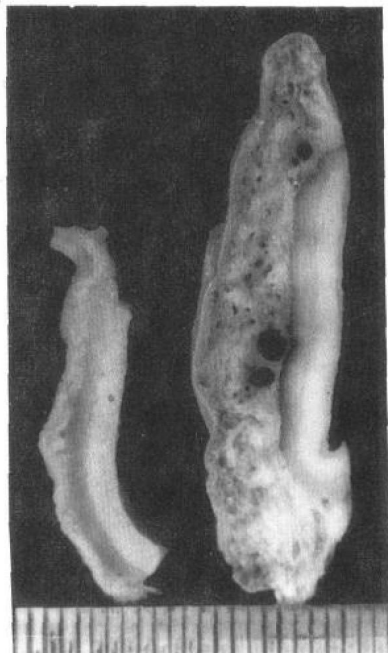
附图17—1 小肠套叠（马驹）
在图右上角和左下角见一段肠管套入
其邻近的肠管内，套叠部的肠段显著变粗，
浆膜淤血和出血



附图17—2 寄生虫性肠阻塞
（马驹）
小肠内有大量蛔虫阻塞，使肠内容物
后送困难



附图17—3 右图为正常马左上结肠的粘膜面;左图为出血性坏死性盲结肠炎马的大结肠胸骨曲的粘膜面,粘膜因淤血、出血呈弥漫性暗红色,部分粘膜缺损



附图17—4 左图为正常马的左上结肠切面;右图为出血性坏死性盲结肠炎马的左上结肠切面,粘膜因淤血、出血呈暗红色,粘膜下层因严重淤血、出血和水肿而显著增厚

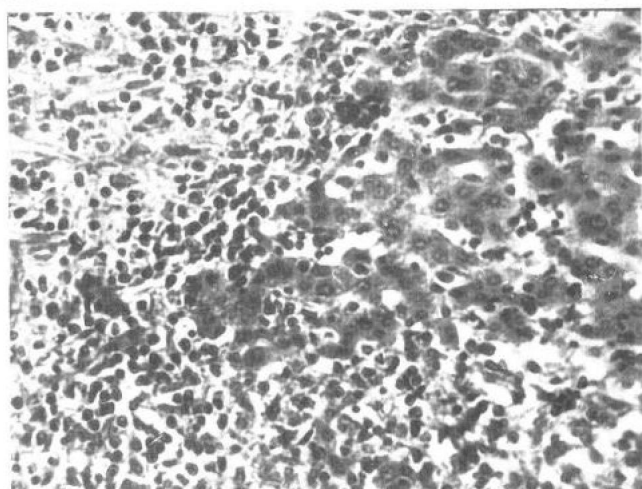


附图17—5 左图为正常马肾上腺切面;右图为出血性坏死性盲结肠炎马的肾上腺切面,被膜和皮质显示出血



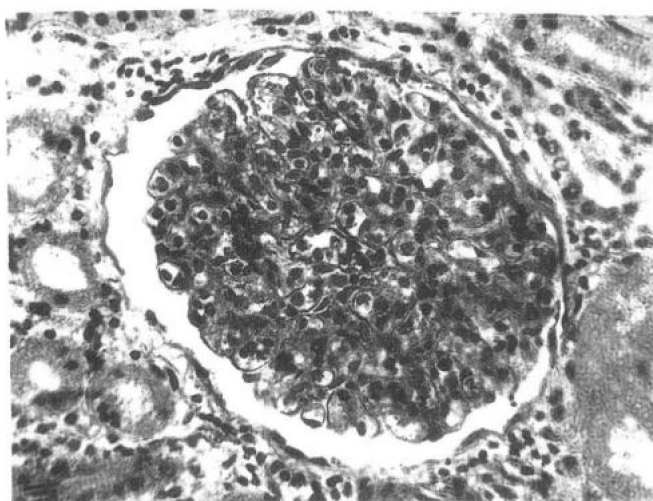
附图17—6 出血性坏死性盲结肠炎患马的左下结肠，肠腺消失，粘膜固有层坏死，粘膜下层淤血、水肿，有少量淋巴细胞浸润

(H. E. ×100)



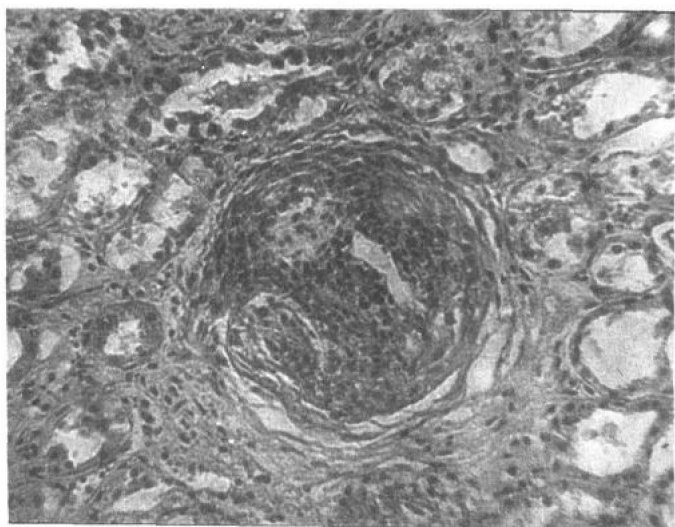
附图17—7 猪寄生虫性肝硬变

肝小叶间纤维组织大量增生，其中有多数嗜酸粒细胞及淋巴细胞浸润，肝脏实质萎缩 (H. E. ×200)

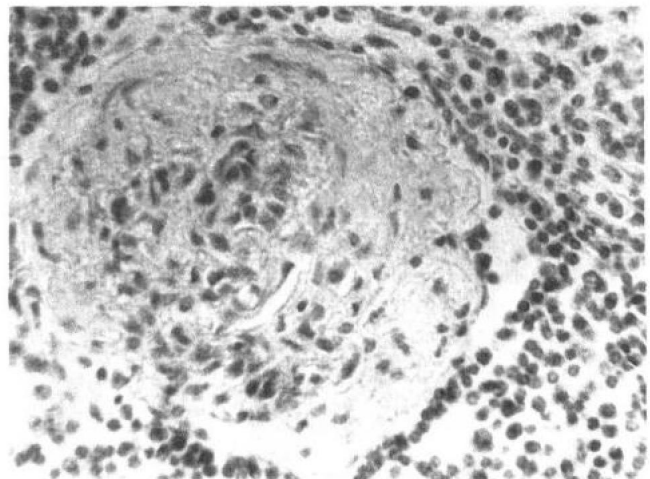


附图18—1 马急性增生性肾小球性肾炎

血管球体积增大，细胞核数目增多
(H. E. ×320)



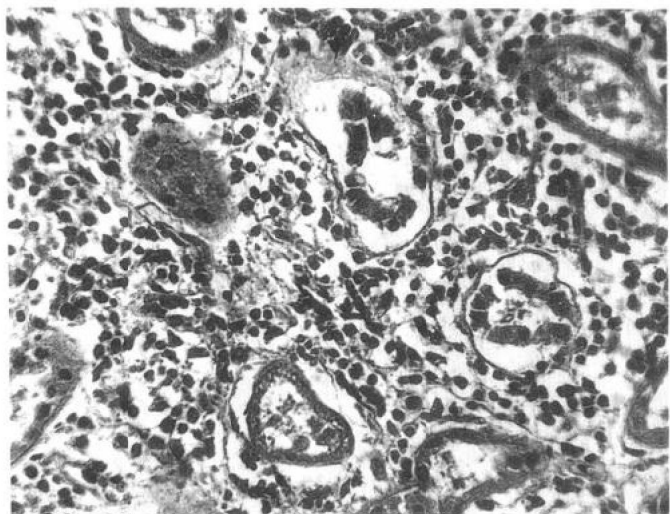
附图18—2 慢性硬化性肾小球性
肾炎
肾小球纤维化 (H. E. ×160)



附图18—3 慢性硬化性肾小球性肾炎
肾小球透明变性 (H. E. ×400)



附图18—4 牛间质性肾炎
(白斑肾)



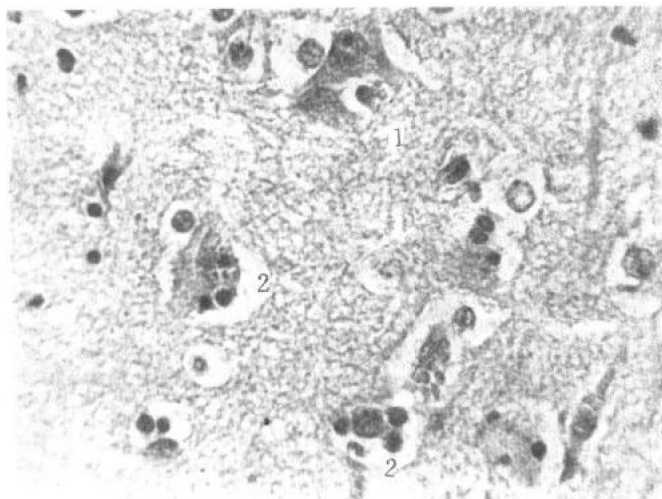
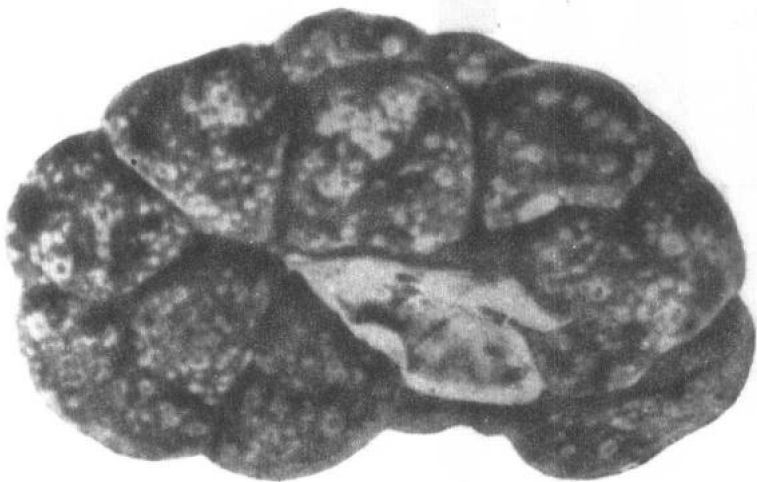
附图18—5 马间质性肾炎

肾间质内有大量淋巴细胞浸润，肾小管被挤压并萎缩 (H. E. × 320)

附图18—6

牛化脓性肾炎

在肾表面见有许
多灰白色小脓肿，其
中有些相互融合成片

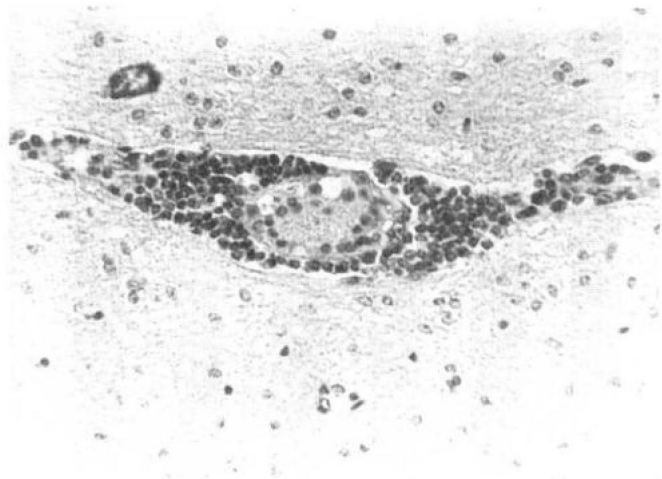


附图20—1 流行性乙型脑炎

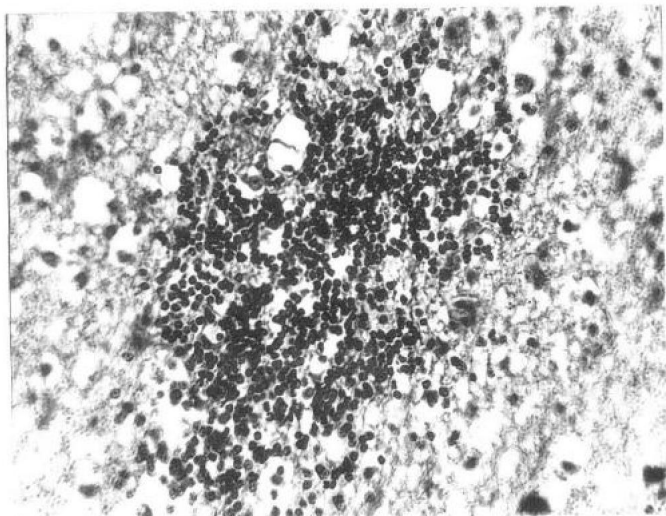
神经细胞变性及胶质细胞增生。图中
1示“卫星现象”及“噬神经细胞现象”开
始，2示“噬神经细胞现象”(H. E. × 400)



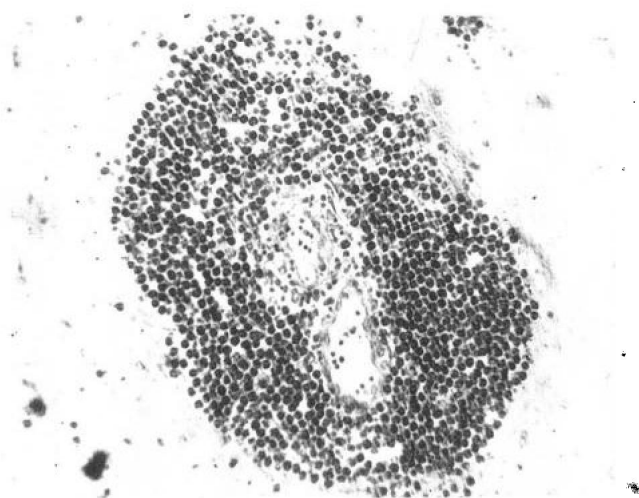
附图20—2 牛先天性脑积水
大脑皮层完全萎缩，切除脑膜后，脑内为一水囊，基底神经节和四叠体未受损



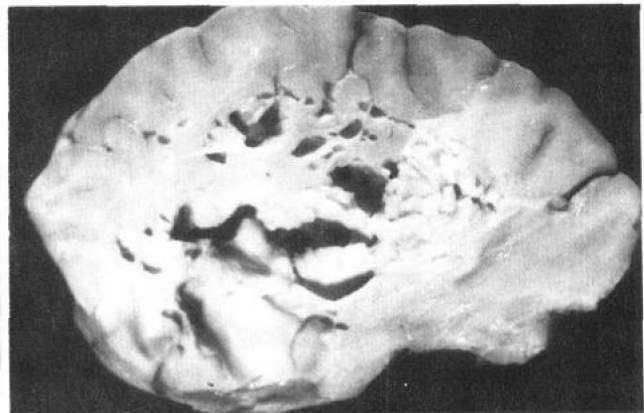
附图20—3 流行性乙型脑炎(马)
血管周围炎性细胞浸润(细胞性管套)
(H. E. ×200)



附图20—4 马非化脓性脑炎
神经胶质细胞局灶性增生
(H. E. ×100)



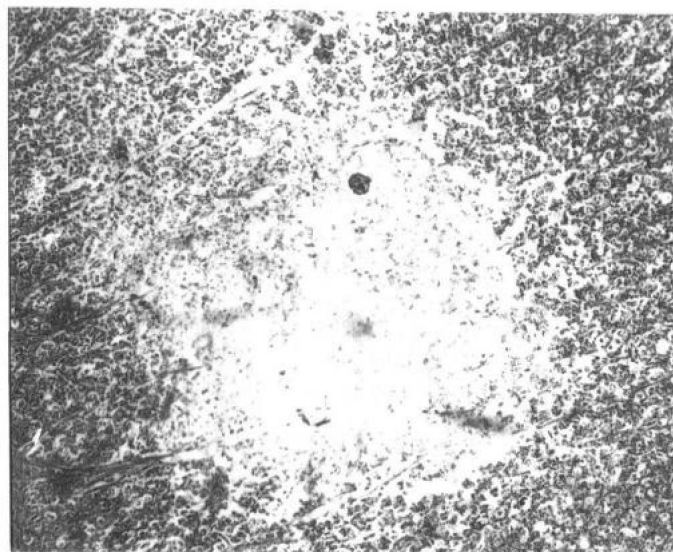
附图20—5 猪嗜酸粒细胞性
脑膜炎
血管周围嗜酸粒细胞性管套
(H. E. ×160)



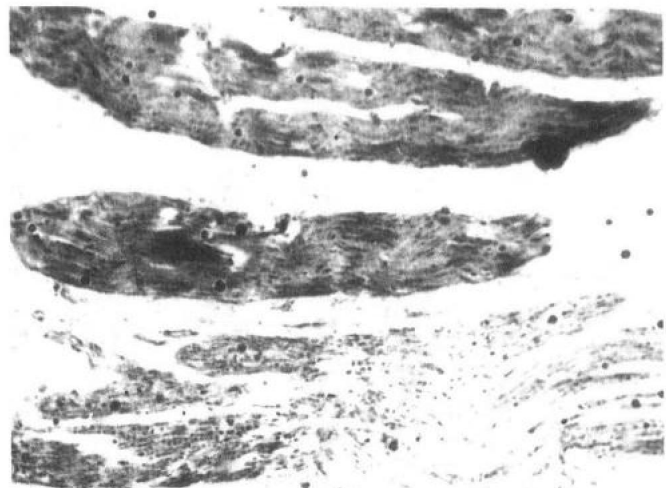
附图20—6 牛脑白质软化



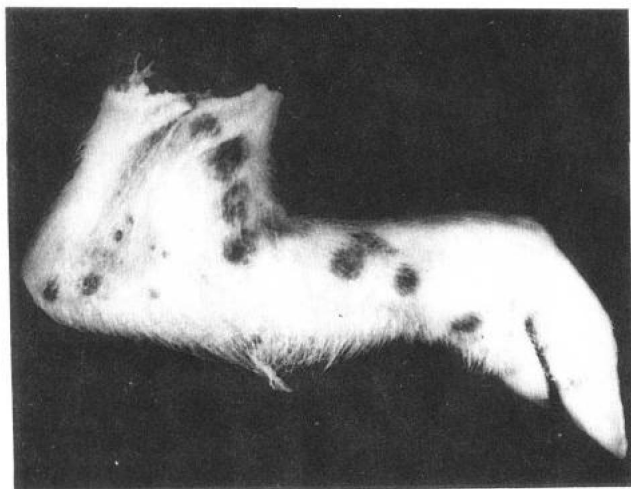
附图20—7 羔羊地方性运动失调
(缺铜) 时大脑白质
液化性坏死
在大脑不同的横切面上，出现大小不
等的空腔



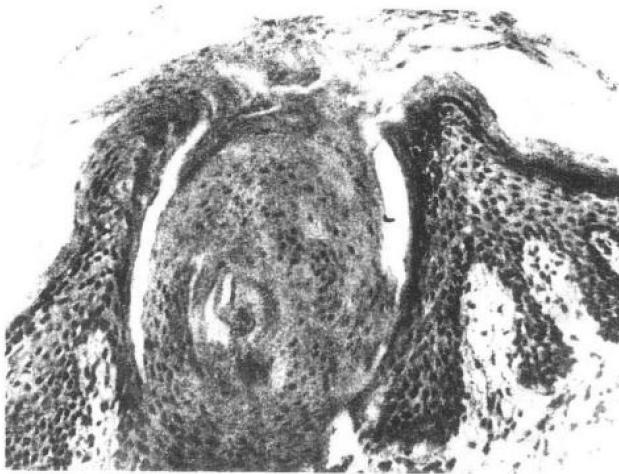
附图20—8 羔羊地方性运动失调时脊髓白质中的液化灶
(髓鞘染色 $\times 100$)



附图20—9 羔羊地方性运动失调时外周神经的脱髓鞘
注意图上端的三根神经纤维内只有少量髓鞘丢失，下端的一根右侧几全部脱失
(髓鞘染色 $\times 100$)



附图21—1 瘡
猪皮肤痘疹结痂期，疹块表层凝结着干硬的膜状物

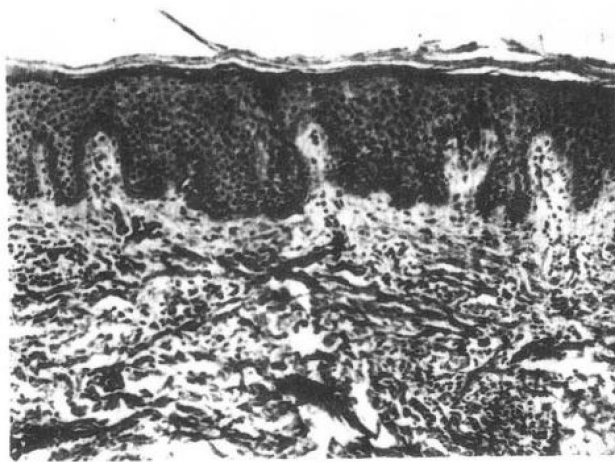
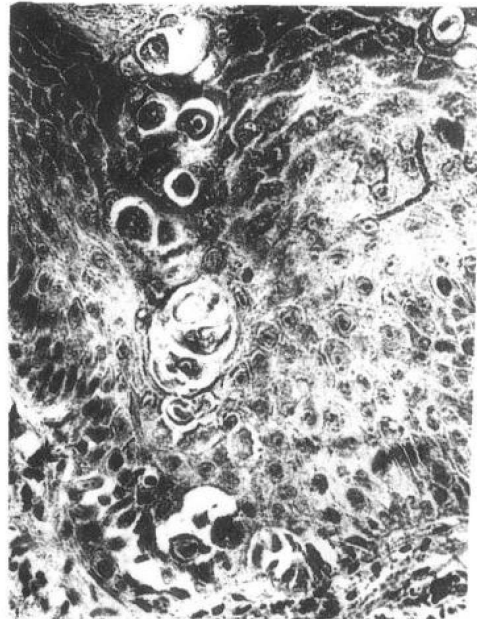


附图21—2 角质栓

毛囊漏斗内有圆锥形角质栓，其中可见角化不全细胞(采自邱丙森等《皮肤组织病理学》，1981)

附图21—3 角化不良

毛囊角化病时，颗粒层内的圆体细胞即角化不良细胞(采自邱丙森等《皮肤组织病理学》，1981)



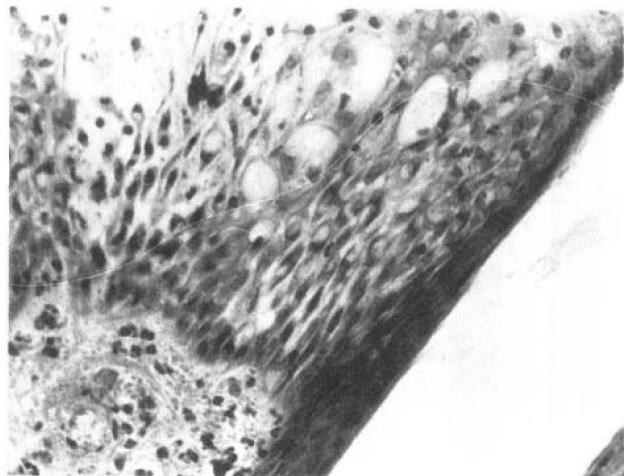
附图21—4 棘层肥厚

神经性皮炎时表皮棘层肥厚，表皮突增宽(采自邱丙森等《皮肤组织病理学》，1981)



附图21—5 痂状增生

人的疣状皮肤结核,表皮疣状增生(采
自邱丙森等《皮肤组织病理学》,1981)



附图21—6 海绵状态

山羊痘时表皮细胞的海绵状态
(H.E. × 100)



附图21—7 绒毛

图示毛囊角化病绒毛伸展至表皮基底层上之
腔隙内(采自邱丙森等《皮肤组织病理学》,1981)